

TEORIA SPRĘŻYSTOŚCI I PLASTYCZNOŚCI

dr inż. Paweł Szeptyński

adres: p. 320 – III p. WIL

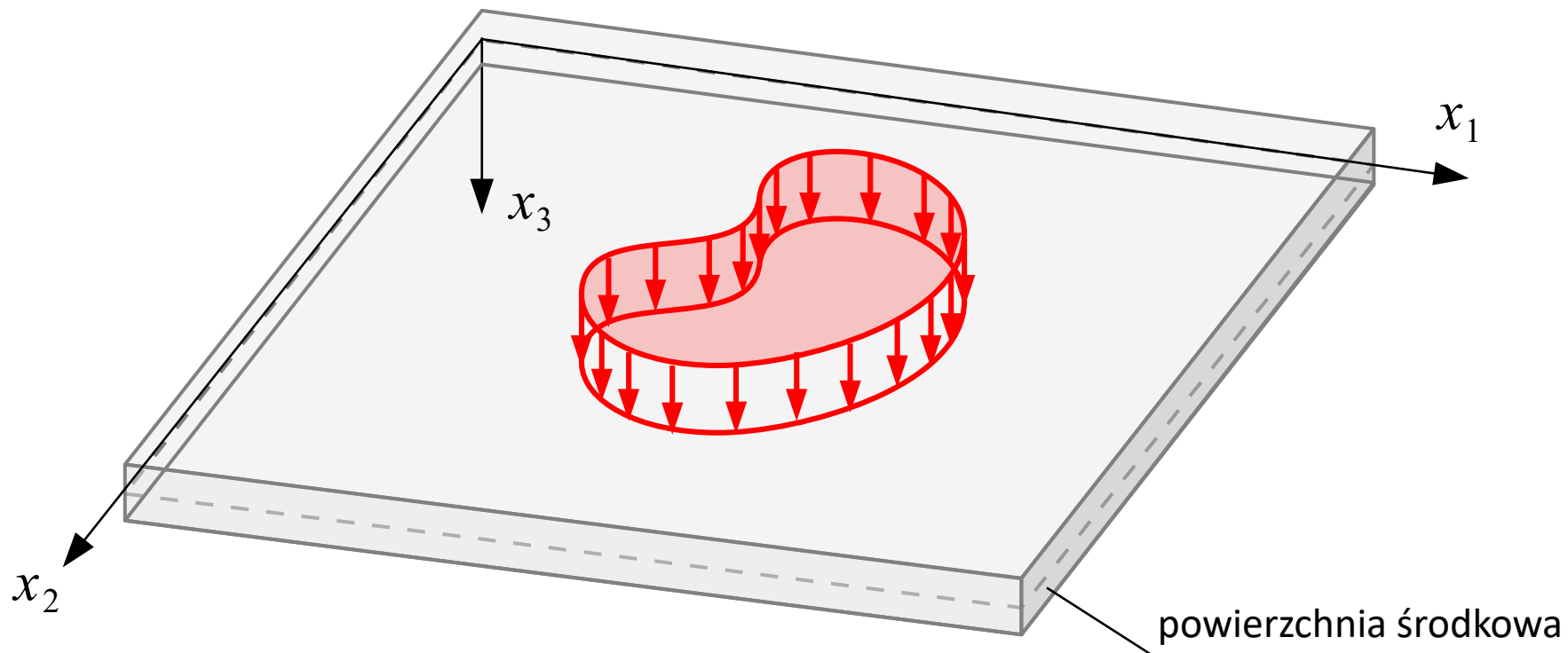
tel. 12 628 20 30

e-mail: pszeptynski@pk.edu.pl

TEORIA PŁYT CIENKICH KIRCHHOFFA – LOVE'A

TEORIA PŁYT CIENKICH KIRCHHOFFA – LOVE'A

Płyta sprężysta – sprężysty ustrój powierzchniowy, którego wymiar poprzeczny jest wielokrotnie mniejszy od wymiarów w rzucie, obciążony prostopadłe do swojej powierzchni środkowej (równoległe do mniejszego wymiaru).

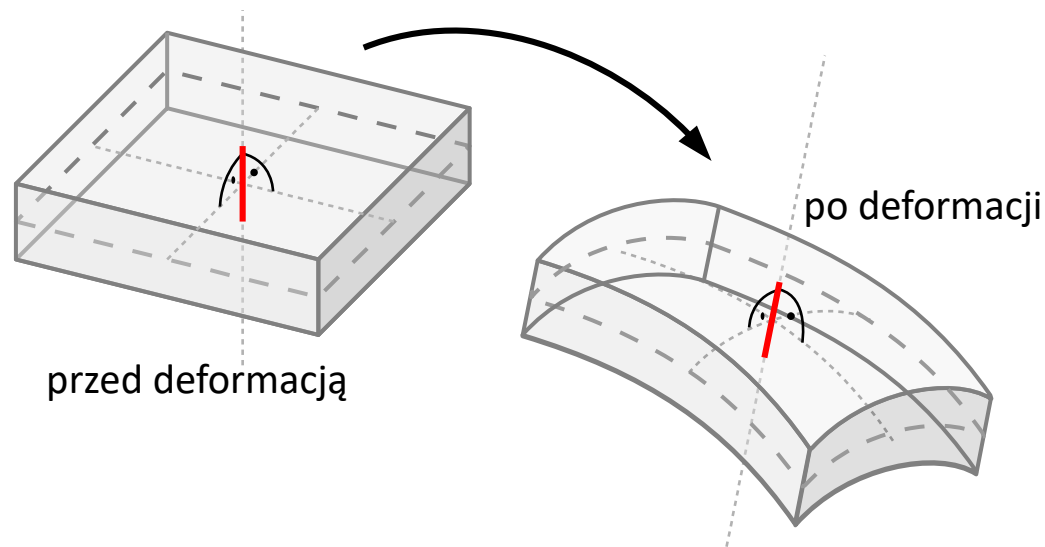


TEORIA PŁYT CIENKICH KIRCHHOFFA – LOVE'A

Jednym z modeli obliczeniowych płyt sprężystych jest **teoria płyt cienkich Kirchhoffa – Love'a**. U jej podstaw leży założenie dotyczące charakteru deformacji płyty, będące **uogólnieniem hipotezy płaskich przekrojów Bernoulliego** na przypadek **dwuwymiarowy**.

HIPOTEZA KIRCHHOFFA

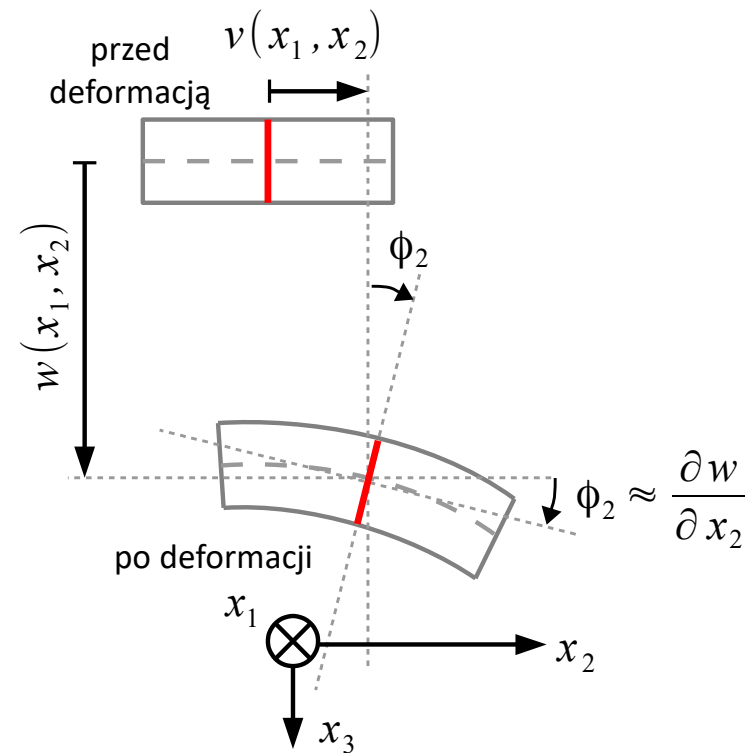
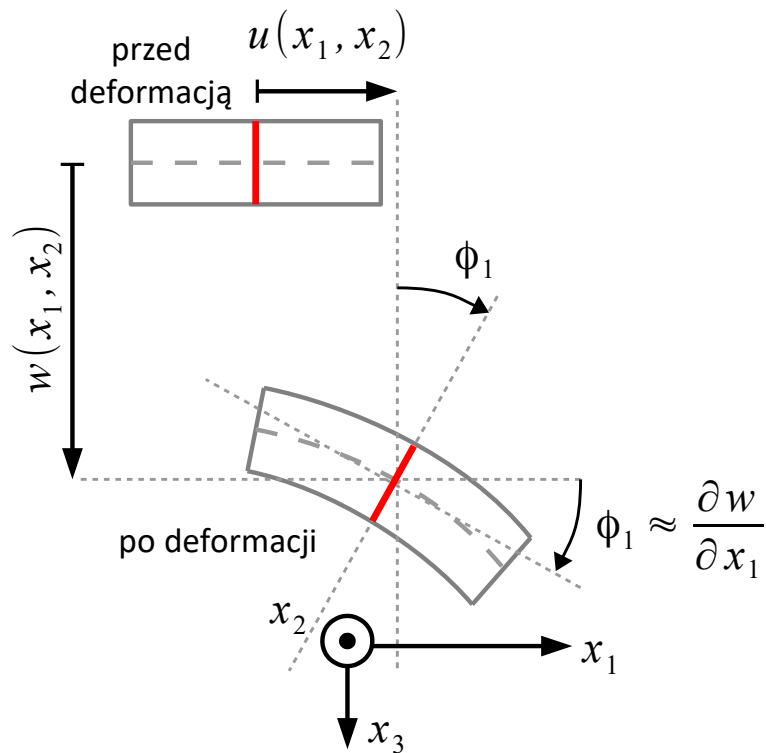
odcinek prosty i prostopadły do płaszczyzny środkowej płyty przed deformacją pozostaje prosty i prostopadły do zdeformowanej powierzchni środkowej płyty



TEORIA PŁYT CIENKICH KIRCHHOFFA – LOVE'A

HIPOTEZA KIRCHHOFFA

odcinek prosty i prostopadły do płaszczyzny środkowej płyty przed deformacją pozostaje prosty i prostopadły do zdeformowanej powierzchni środkowej płyty



TEORIA PŁYT CIENKICH KIRCHHOFFA – LOVE'A

ZAŁOŻENIA:

- obowiązuje **liniowa teoria sprężystości**:
 - małe przemieszczenia
 - małe odkształcenia - liniowe związki geometryczne
 - liniowe związki konstytutywne (materiał liniowo-sprężysty Hooke'a)
- obowiązuje **hipoteza Kirchhoffa**.
- wymiar płyty w kierunku prostopadłym do powierzchni środkowej płyty jest wielokrotnie mniejszy od pozostałych wymiarów płyty.
- **naprężenia normalne prostopadłe do powierzchni środkowej płyty są pomijalnie małe: $\sigma_{33} \approx 0$**

ZWIĄZKI KINEMATYCZNE W PŁYTACH CIENKICH

Wektor przemieszczenia punktów powierzchni środkowej ($z \neq 0$):

$$\mathbf{u}(x_1, x_2, 0) = \begin{bmatrix} u(x_1, x_2) \\ v(x_1, x_2) \\ w(x_1, x_2) \end{bmatrix}$$

Wektor przemieszczenia punktów o współrzędnych $z \neq 0$ wyznaczamy z **hipotezy Kirchhoffa**:

$$\mathbf{u}(x_1, x_2, x_3) = \begin{bmatrix} u(x_1, x_2) - \frac{\partial w(x_1, x_2)}{\partial x_1} \cdot x_3 \\ v(x_1, x_2) - \frac{\partial w(x_1, x_2)}{\partial x_2} \cdot x_3 \\ w(x_1, x_2) \end{bmatrix}$$

ZWIĄZKI KINEMATYCZNE W PŁYTACH CIENKICH

Z ogólnych związków geometrycznych:

$$\varepsilon_{ij} = \frac{1}{2} \left(\frac{\partial u_i}{\partial x_j} + \frac{\partial u_j}{\partial x_i} \right)$$

wyznaczamy składowe tensora odkształcenia:

$$\varepsilon_{11} = \frac{\partial u}{\partial x_1} - \frac{\partial^2 w}{\partial x_1^2} \cdot x_3, \quad \varepsilon_{22} = \frac{\partial v}{\partial x_2} - \frac{\partial^2 w}{\partial x_2^2} \cdot x_3, \quad \varepsilon_{33} = \frac{\partial w}{\partial x_3} = 0,$$

$$\varepsilon_{12} = \frac{1}{2} \left[\frac{\partial}{\partial x_1} \left(v - \frac{\partial w}{\partial x_2} x_3 \right) + \frac{\partial}{\partial x_2} \left(u - \frac{\partial w}{\partial x_1} x_3 \right) \right] = \frac{1}{2} \left[\frac{\partial u}{\partial x_2} + \frac{\partial v}{\partial x_1} - 2 \frac{\partial w}{\partial x_1 \partial x_2} x_3 \right],$$

$$\varepsilon_{23} = \frac{1}{2} \left[\frac{\partial}{\partial x_3} \left(v - \frac{\partial w}{\partial x_2} x_3 \right) + \frac{\partial w}{\partial x_2} \right] = 0, \quad \varepsilon_{31} = \frac{1}{2} \left[\frac{\partial}{\partial x_3} \left(u - \frac{\partial w}{\partial x_1} x_3 \right) + \frac{\partial w}{\partial x_1} \right] = 0$$

ZWIĄZKI KINEMATYCZNE W PŁYTACH CIENKICH

UWAGI:

- Zerowanie się odkształceń postaciowych ε_{31} oraz ε_{23} wynika z **hipotezy Kirchhoffa**.
- Z uwagi na **liniowość związków konstytutywnych** pociąga to za sobą **zerowanie się odpowiednich naprężeń stycznych**: $\sigma_{31} = \sigma_{23} = 0$
- Spodziewamy się jednak, że w płycie obciążonej poprzecznie (na kierunku x_3) powinny być obecne naprężenia styczne σ_{31} oraz σ_{23} .

ZWIĄZKI KINEMATYCZNE W PŁYTACH CIENKICH

Związki kinematyczne możemy formalnie zapisać w odmienny sposób:

$$\begin{aligned} \varepsilon_{11} &= \bar{\varepsilon}_{11} + \kappa_{11} x_3, & \varepsilon_{22} &= \bar{\varepsilon}_{22} + \kappa_{22} x_3, & \varepsilon_{33} &= 0, \\ \varepsilon_{12} &= \bar{\varepsilon}_{12} + \kappa_{12} x_3 & \varepsilon_{31} &= \frac{1}{2} \left(\phi_1 + \frac{\partial w}{\partial x_1} \right) & \varepsilon_{23} &= \frac{1}{2} \left(\phi_2 + \frac{\partial w}{\partial x_2} \right) \end{aligned}$$

gdzie:

$$\begin{aligned} \bar{\varepsilon}_{11} &= \frac{\partial u}{\partial x_1}, & \bar{\varepsilon}_{22} &= \frac{\partial v}{\partial x_2}, & \bar{\varepsilon}_{12} &= \frac{1}{2} \left(\frac{\partial u}{\partial x_2} + \frac{\partial v}{\partial x_1} \right), & \phi_1 &= -\frac{\partial w}{\partial x_1}, & \phi_2 &= -\frac{\partial w}{\partial x_2}, \\ \kappa_{11} &= \frac{\partial \phi_1}{\partial x_1} = -\frac{\partial^2 w}{\partial x_1^2}, & \kappa_{22} &= \frac{\partial \phi_2}{\partial x_2} = -\frac{\partial^2 w}{\partial x_2^2}, & \kappa_{12} &= \left(\frac{\partial \phi_1}{\partial x_2} + \frac{\partial \phi_2}{\partial x_1} \right) = -2 \frac{\partial^2 w}{\partial x_1 \partial x_2} \end{aligned}$$

„Sztuczka” polega na tym, że potraktowaliśmy ϕ_i oraz $\frac{\partial w}{\partial x_i}$ jako wielkości niezależne.

ZWIĄZKI KONSTITUTYWNE W PŁYTACH CIENKICH

- Stan mechaniczny, w jakim znajdują się cząstki płyty jest **płaskim stanem odkształcenia**.
- Z uwagi na **pomijalnie małą wartość poprzecznego naprężenia normalnego** $\sigma_{33} \approx 0$ możemy uznać, że jest to jednocześnie w przybliżeniu **płaski stan naprężenia**.
- Uogólnione stałe sprężyste ze związków konstytutywnych dla stanu płaskiego możemy wtedy utożsamiać z rzeczywistymi stałymi sprężystymi opisującymi zagadnienia trójwymiarowe.
- W sensie ścisłym odpowiada to sytuacji, w której **współczynnik Poissona jest zerowy**.

ZWIĄZKI KONSTYTUTYWNE W PŁYTACH CIENKICH

Związki konstytutywne dla płyt izotropowych:

$$\sigma_{11} = \frac{E}{1-\nu^2}(\varepsilon_{11} + \nu\varepsilon_{22}) = \frac{E}{1-\nu^2} \left[\left(\frac{\partial u}{\partial x_1} - \frac{\partial^2 w}{\partial x_1^2} \cdot x_3 \right) + \nu \left(\frac{\partial v}{\partial x_2} - \frac{\partial^2 w}{\partial x_2^2} \cdot x_3 \right) \right]$$

$$\sigma_{22} = \frac{E}{1-\nu^2}(\varepsilon_{22} + \nu\varepsilon_{11}) = \frac{E}{1-\nu^2} \left[\left(\frac{\partial v}{\partial x_2} - \frac{\partial^2 w}{\partial x_2^2} \cdot x_3 \right) + \nu \left(\frac{\partial u}{\partial x_1} - \frac{\partial^2 w}{\partial x_1^2} \cdot x_3 \right) \right]$$

$$\sigma_{12} = \frac{E}{1+\nu}\varepsilon_{12} = \frac{E}{2(1+\nu)} \left[\frac{\partial u}{\partial x_2} + \frac{\partial v}{\partial x_1} - 2 \frac{\partial w}{\partial x_1 \partial x_2} x_3 \right]$$

W postaci macierzowej:

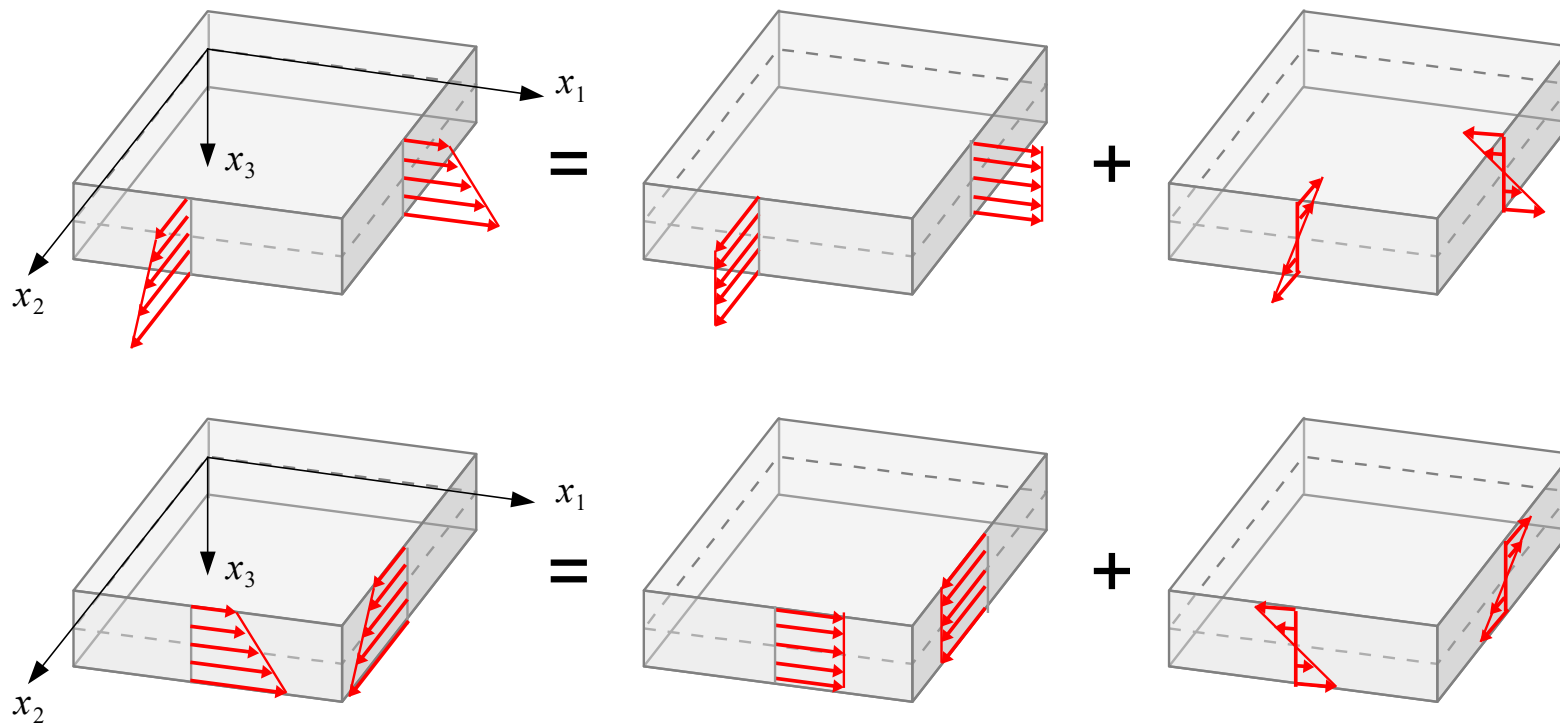
$$\begin{bmatrix} \varepsilon_{11} \\ \varepsilon_{22} \\ \varepsilon_{12} \end{bmatrix} = \frac{1}{E} \begin{bmatrix} 1 & -\nu & 0 \\ & 1 & 0 \\ \text{sym} & & 1+\nu \end{bmatrix} \begin{bmatrix} \sigma_{11} \\ \sigma_{22} \\ \sigma_{12} \end{bmatrix} \Leftrightarrow \begin{bmatrix} \sigma_{11} \\ \sigma_{22} \\ \sigma_{12} \end{bmatrix} = \frac{E}{1-\nu^2} \begin{bmatrix} 1 & \nu & 0 \\ & 1 & 0 \\ \text{sym} & & 1-\nu \end{bmatrix} \begin{bmatrix} \varepsilon_{11} \\ \varepsilon_{22} \\ \varepsilon_{12} \end{bmatrix}$$

SIŁY PRZEKROJOWE W PŁYTACH CIENKICH

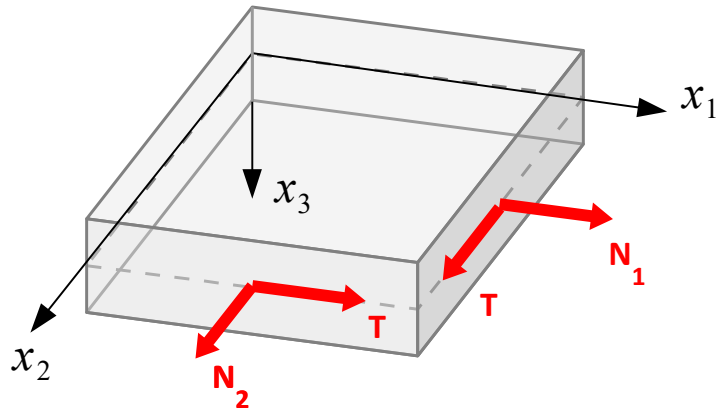
Na podstawie związków konstytutywnych możemy zauważyć, że dla ustalonego włókna prostopadłego do powierzchni środkowej, naprężenia zmieniają się liniowo względem zmiennej x_3 .

Naprężenia **normalne** i **styczne** można rozłożyć wtedy na:

- **symetryczną** składową stałą
- **antysymetryczną** składową zmienną liniowo



SIŁY PRZEKROJOWE W PŁYTACH CIENKICH



siła podłużna – suma **symetrycznej** części naprężeń **normalnych**

$$N_1 = \int_{x_3=-h/2}^{h/2} \sigma_{11} dx_3 = \frac{Eh}{1-\nu^2} \left[\frac{\partial u}{\partial x_1} + \nu \frac{\partial v}{\partial x_2} \right]$$

$$N_2 = \int_{x_3=-h/2}^{h/2} \sigma_{22} dx_3 = \frac{Eh}{1-\nu^2} \left[\frac{\partial v}{\partial x_2} + \nu \frac{\partial u}{\partial x_1} \right]$$

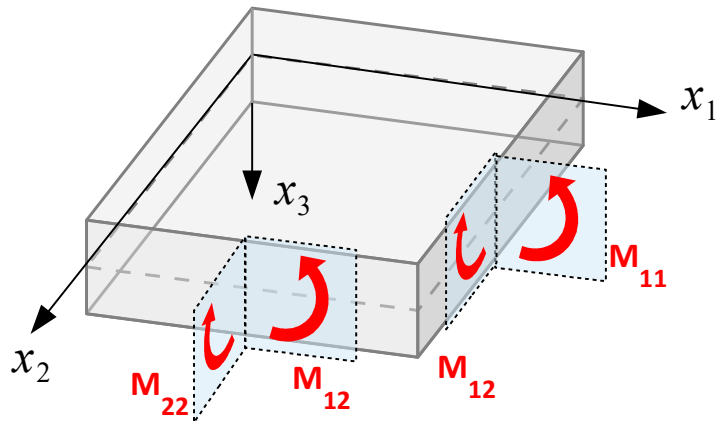
siła styczna – suma **symetrycznej** części naprężeń **stycznych**

$$T = \int_{x_3=-h/2}^{h/2} \sigma_{12} dx_3 = \frac{Eh}{1-\nu^2} \frac{1-\nu}{2} \left[\frac{\partial u}{\partial x_2} + \frac{\partial v}{\partial x_1} \right]$$

UWAGA:

- wymiar fizyczny sił podłużnych i stycznych to N/m – jest to liniowa gęstość sił odniesionych do przekroju poprzecznego o jednostkowej szerokości.

SIŁY PRZEKROJOWE W PŁYTACH CIENKICH



moment zginający – moment **antysymetrycznej** części naprężeń **normalnych** względem punktu na powierzchni środkowej.

$$M_{11} = \int_{x_3 = -h/2}^{h/2} x_3 \sigma_{11} dx_3 = -\frac{E h^3}{12(1-\nu^2)} \left[\frac{\partial^2 w}{\partial x_1^2} + \nu \frac{\partial^2 w}{\partial x_2^2} \right]$$

$$M_{22} = \int_{x_3 = -h/2}^{h/2} x_3 \sigma_{22} dx_3 = -\frac{E h^3}{12(1-\nu^2)} \left[\frac{\partial^2 w}{\partial x_2^2} + \nu \frac{\partial^2 w}{\partial x_1^2} \right]$$

moment skręcający – moment **antysymetrycznej** części naprężeń **stycznych** względem punktu na powierzchni środkowej.

$$M_{12} = \int_{x_3 = -h/2}^{h/2} x_3 \sigma_{12} dx_3 = -(1-\nu) \frac{E h^3}{12(1-\nu^2)} \left[\frac{\partial^2 w}{\partial x_1 \partial x_2} \right]$$

UWAGA:

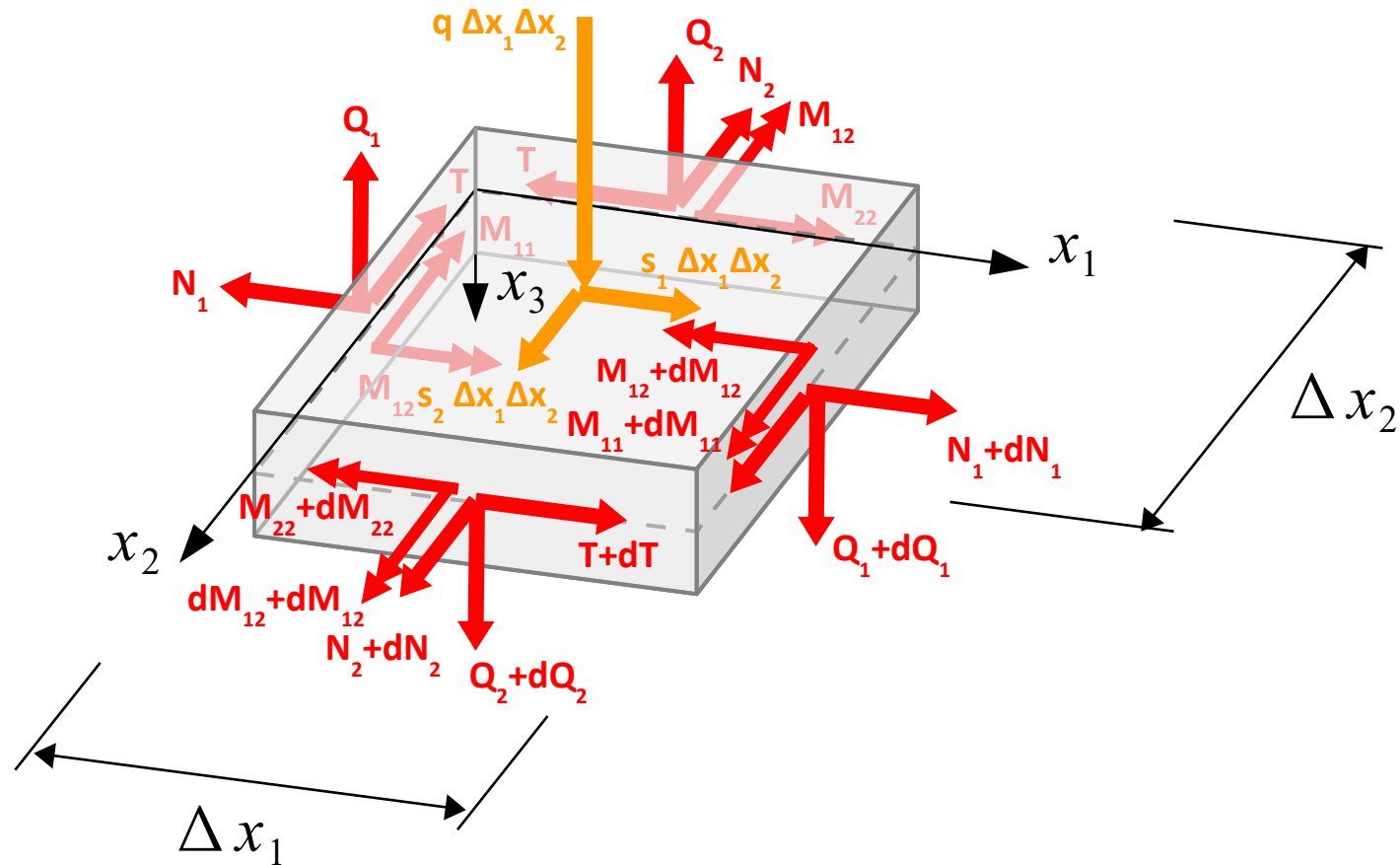
- wymiar fizyczny momentów zginających i skręcających to Nm/m – jest to liniowa gęstość momentów odniesionych do przekroju poprzecznego o jednostkowej szerokości.

SIŁY PRZEKROJOWE W PŁYTACH CIENKICH

UWAGA:

- z założeń teorii Kirchhoffa – Love'a wynika, że **naprężenia styczne** $\sigma_{31}, \sigma_{23} = 0$
- **siła poprzeczna w płytach cienkich** formalnie jest **równa 0**.
- stwierdza się jednak obecność takich sił, co ma znaczenie przy weryfikacji nośności płyty. Dla płyt o umiarkowanej grubości stwierdza się ponadto, że naprężenia styczne mają wpływ na jej ugięcie.
- w celu wyprowadzenia **równań równowagi** nieskończenie małego elementu płytowego zakłada się istnienie **niezerowych sił poprzecznych**.

RÓWNANIA RÓWNOWAGI DLA PŁYT CIENKICH



Zakładamy, że przyrost wartości każdej z sił poprzecznych związany z przyrostem wartości zmiennej x_i jest w przybliżeniu równy:

$$dF = \frac{\partial F}{\partial x_i} \Delta x_i$$

RÓWNANIA RÓWNOWAGI DLA PŁYT CIENKICH

Równania równowagi dla rozważanego elementu płytowego dla $\Delta x_1, \Delta x_2 \rightarrow 0$

$$\Sigma F_1 = 0: \quad \frac{\partial N_1}{\partial x_1} + \frac{\partial T}{\partial x_2} + s_1 = 0$$

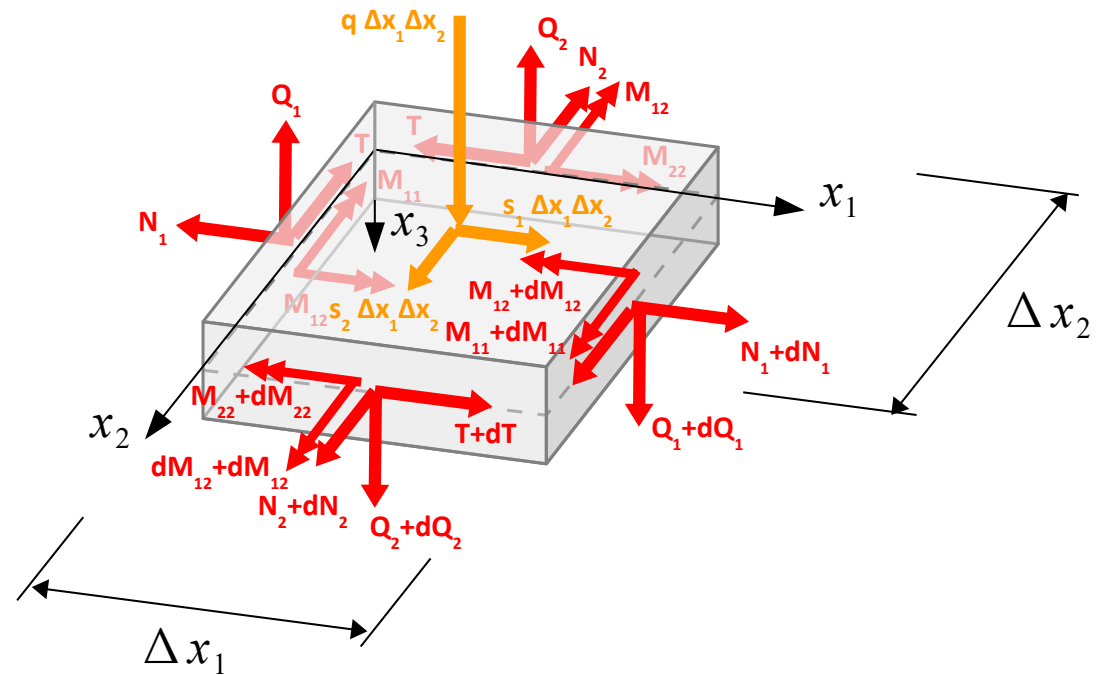
$$\Sigma F_2 = 0: \quad \frac{\partial N_2}{\partial x_2} + \frac{\partial T}{\partial x_1} + s_2 = 0$$

$$\Sigma F_3 = 0: \quad \frac{\partial Q_1}{\partial x_1} + \frac{\partial Q_2}{\partial x_2} + q = 0$$

$$\Sigma M_1 = 0: \quad Q_2 - \frac{\partial M_{12}}{\partial x_1} - \frac{\partial M_{22}}{\partial x_2} = 0$$

$$\Sigma M_2 = 0: \quad Q_1 - \frac{\partial M_{11}}{\partial x_1} - \frac{\partial M_{12}}{\partial x_2} = 0$$

$$\Sigma M_3 = 0: \quad T_{12} - T_{21} = 0 \quad \Rightarrow \quad T_{12} = T_{21} = T$$



RÓWNANIA RÓWNOWAGI DLA PŁYT CIENKICH

Równania równowagi momentów stają się definicją **sił poprzecznych**:

$$Q_1 = \frac{\partial M_{11}}{\partial x_1} + \frac{\partial M_{12}}{\partial x_2} = -\frac{E h^3}{12(1-\nu^2)} \left[\frac{\partial^3 w}{\partial x_1^3} + \frac{\partial^3 w}{\partial x_1 \partial x_2^2} \right] = -\frac{E h^3}{12(1-\nu^2)} \frac{\partial}{\partial x_1} \nabla^2 w$$

$$Q_2 = \frac{\partial M_{12}}{\partial x_1} + \frac{\partial M_{22}}{\partial x_2} = -\frac{E h^3}{12(1-\nu^2)} \left[\frac{\partial^3 w}{\partial x_2^3} + \frac{\partial^3 w}{\partial x_2 \partial x_1^2} \right] = -\frac{E h^3}{12(1-\nu^2)} \frac{\partial}{\partial x_2} \nabla^2 w$$

RÓWNANIA RÓWNOWAGI DLA PŁYT CIENKICH – STAN TARCZOWY

Rozważmy równania równowagi sił w płaszczyźnie środkowej: $\Sigma F_1 = 0$, $\Sigma F_2 = 0$.

$$\begin{cases} \frac{\partial N_1}{\partial x_1} + \frac{\partial T}{\partial x_2} + s_1 = 0 \\ \frac{\partial N_2}{\partial x_2} + \frac{\partial T}{\partial x_1} + s_2 = 0 \end{cases}$$

Siły przekrojowe wyrażamy przez przemieszczenia

$$\begin{cases} \frac{Eh}{1-\nu^2} \frac{\partial}{\partial x_1} \left[\frac{\partial u}{\partial x_1} + \nu \frac{\partial v}{\partial x_2} \right] + \frac{Eh}{1-\nu^2} \frac{1-\nu}{2} \frac{\partial}{\partial x_2} \left[\frac{\partial u}{\partial x_2} + \frac{\partial v}{\partial x_1} \right] + s_1 = 0 \\ \frac{Eh}{1-\nu^2} \frac{\partial}{\partial x_2} \left[\frac{\partial v}{\partial x_2} + \nu \frac{\partial u}{\partial x_1} \right] + \frac{Eh}{1-\nu^2} \frac{1-\nu}{2} \frac{\partial}{\partial x_1} \left[\frac{\partial u}{\partial x_2} + \frac{\partial v}{\partial x_1} \right] + s_2 = 0 \end{cases}$$

RÓWNANIA RÓWNOWAGI DLA PŁYT CIENKICH – STAN TARCZOWY

Oznaczmy:
$$\bar{\sigma}_{11} = \frac{E}{1-\nu^2}[\bar{\epsilon}_{11} - \nu\bar{\epsilon}_{22}], \quad \bar{\sigma}_{22} = \frac{E}{1-\nu^2}[\bar{\epsilon}_{22} - \nu\bar{\epsilon}_{11}], \quad \bar{\sigma}_{12} = \frac{E}{(1+\nu)}\bar{\epsilon}_{12}$$

gdzie:
$$\bar{\epsilon}_{11} = \frac{\partial u}{\partial x_1}, \quad \bar{\epsilon}_{22} = \frac{\partial v}{\partial x_2}, \quad \bar{\epsilon}_{12} = \frac{1}{2}\left(\frac{\partial u}{\partial x_2} + \frac{\partial v}{\partial x_1}\right),$$

wtedy równania równowagi w płaszczyźnie przyjmują postać:

$$\begin{cases} \frac{\partial \bar{\sigma}_{11}}{\partial x_1} + \frac{\partial \bar{\sigma}_{12}}{\partial x_2} + \frac{s_1}{h} = 0 \\ \frac{\partial \bar{\sigma}_{12}}{\partial x_1} + \frac{\partial \bar{\sigma}_{22}}{\partial x_2} + \frac{s_2}{h} = 0 \end{cases}$$

Są to równania równowagi dla **zagadnienia płaskiego w płaszczyźnie środkowej płyty**.

RÓWNANIA RÓWNOWAGI DLA PŁYT CIENKICH – STAN PŁYTOWY

Równanie równowagi $\Sigma F_3 = 0$ po uwzględnieniu równań równowagi momentów ma postać:

$$\frac{\partial^2 M_{11}}{\partial x_1^2} + 2 \frac{\partial^2 M_{12}}{\partial x_1 \partial x_2} + \frac{\partial^2 M_{22}}{\partial x_2^2} + q$$

Siły przekrojowe wyrażamy przez **przemieszczenia**:

$$\frac{\partial^2}{\partial x_1^2} \left[\frac{\partial^2 w}{\partial x_1^2} + \nu \frac{\partial^2 w}{\partial x_2^2} \right] + 2 \frac{\partial^2}{\partial x_1 \partial x_2} \left[(1-\nu) \frac{\partial^2 w}{\partial x_1 \partial x_2} \right] + \frac{\partial^2}{\partial x_2^2} \left[\frac{\partial^2 w}{\partial x_2^2} + \nu \frac{\partial^2 w}{\partial x_1^2} \right] = \frac{q}{D_b}$$

Po przekształceniach otrzymujemy **równanie przemieszczeniowe** rządzące **stanem płytowym** (giętnym):

$$\frac{\partial^4 w}{\partial x_1^4} + 2 \frac{\partial^4 w}{\partial x_1^2 \partial x_2^2} + \frac{\partial^4 w}{\partial x_2^4} = \frac{q}{D_b} \quad \Leftrightarrow \quad \nabla^4 w = \frac{q}{D_b}$$

gdzie:

$$D_b = \frac{E h^3}{12(1-\nu^2)} \quad - \text{sztywność płytowa (giętna)}$$

RÓWNANIA RÓWNOWAGI DLA PŁYT CIENKICH

UWAGI:

- Jeśli tylko **warunki brzegowe** sformułowane są w taki sposób, że
 - przemieszczenia w płaszczyźnie płyty i siły tarczowe nie są określone przez ugięcia i momenty
 - ugięcia i momenty nie są określane przez przemieszczenia w płaszczyźnie płyty i siły tarczowe
- Wtedy **stan tarczowy** i **stan płytowy** są niezależnymi zagadnieniami:
 - **stan tarczowy** (membranowy) wyznaczamy jako **rozwiązanie zagadnienia płaskiego**, np. przez wykorzystanie **funkcji naprężeń Airy'ego**, będącej rozwiązaniem **jednorodnego równania biharmonicznego**:

$$\nabla^4 F = 0$$

- **stan płytowy** (giętny) wyznaczamy przez wyznaczenie **rozkładu ugięcia** płyty, jako rozwiązania **niejednorodnego równania biharmonicznego**:

$$\nabla^4 w = \frac{q}{D_b}$$

WARUNKI BRZEGOWE

- kinematyczne warunki brzegowe dla stanu tarczowego:

$$\text{przemieszczenia poziome punktów brzegowych: } \mathbf{u}(\mathbf{x}) = \mathbf{u}_0, \quad \mathbf{x} \in \partial\Omega$$

- statyczne warunki brzegowe dla stanu tarczowego:

$$\text{obciążenie na brzegu: } (\bar{\boldsymbol{\sigma}} \cdot \mathbf{n})|_{\mathbf{x}} = \mathbf{q}, \quad \mathbf{x} \in \partial\Omega$$

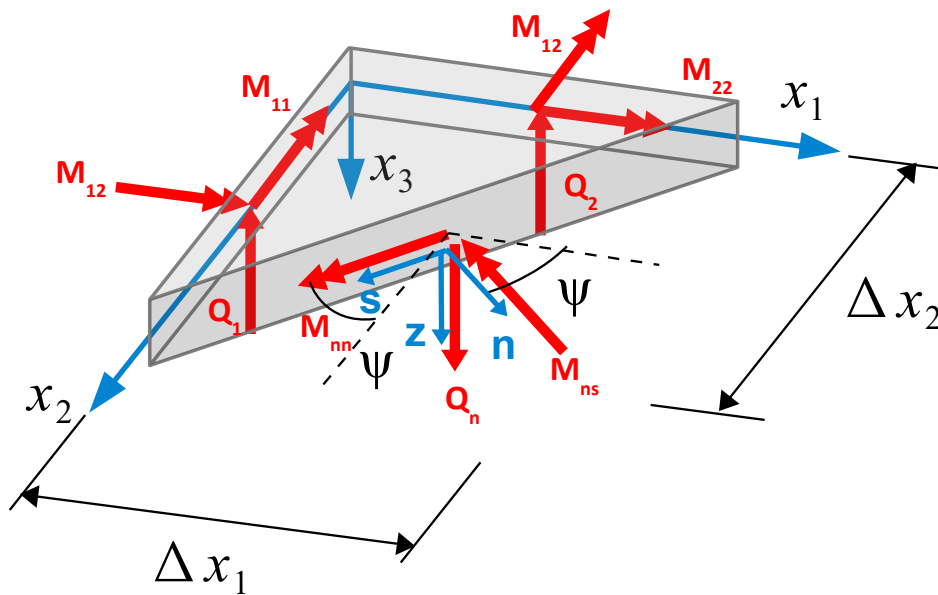
- kinematyczne warunki brzegowe dla stanu płytowego:

$$\text{ugięcie punktów brzegowych: } w(\mathbf{x}) = w_0, \quad \mathbf{x} \in \partial\Omega$$

$$\text{kąt obrotu na kierunku normalnym do brzegu: } \phi_n(\mathbf{x}) = \nabla w \cdot \mathbf{n} = \frac{\partial w}{\partial x_1} n_1 + \frac{\partial w}{\partial x_2} n_2 = \phi_0, \quad \mathbf{x} \in \partial\Omega$$

WARUNKI BRZEGOWE

- **statyczne warunki brzegowe** dla **stanu płytowego**:
 - wymagają wzorów na **brzegowe siły przekrojowe** przy dowolnej orientacji brzegu względem osi przyjętego układu współrzędnych. Związki te wyznaczamy z **równowagi elementu płytowego**:



stan tarczowy:

$$\begin{cases} N_n = N_{11} \cos^2 \psi + N_{22} \sin^2 \psi + T \sin 2 \psi \\ T_{ns} = \frac{1}{2} (N_{22} - N_{11}) \sin 2 \psi + T \cos 2 \psi \end{cases}$$

stan płytowy:

$$\begin{cases} M_{ns} = \frac{1}{2} (M_{22} - M_{11}) \sin 2 \psi + M_{12} \cos 2 \psi \\ M_{nn} = M_{11} \cos^2 \psi + M_{22} \sin^2 \psi + M_{12} \sin 2 \psi \\ Q_n = Q_1 \cos \psi + Q_2 \sin \psi \end{cases}$$

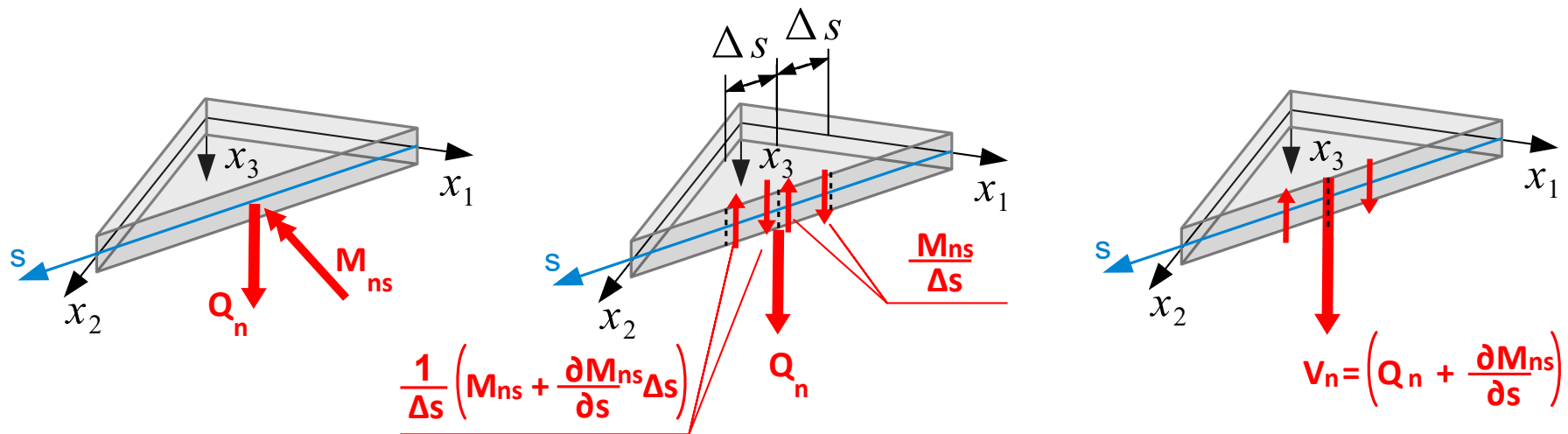
WARUNKI BRZEGOWE

- statyczne warunki brzegowe dla stanu płytowego:

obciążenie momentem zginającym na brzegu: $M_{nn} = \hat{M}_{nn}, \quad \mathbf{x} \in \partial\Omega$

obciążenie momentem skręcającym na brzegu: $M_{ns} = \hat{M}_{ns}, \quad \mathbf{x} \in \partial\Omega$

obciążenie siłą poprzeczną na brzegu: $V_n \stackrel{\text{df.}}{=} Q_n + \frac{\partial M_{ns}}{\partial s} = \hat{V}_s, \quad \mathbf{x} \in \partial\Omega$



V_n - efektywna brzegowa siła poprzeczna (siła poprzeczna Kirchhoffa) $[V_n] = [Q_n] = \text{N/m}$

WARUNKI BRZEGOWE

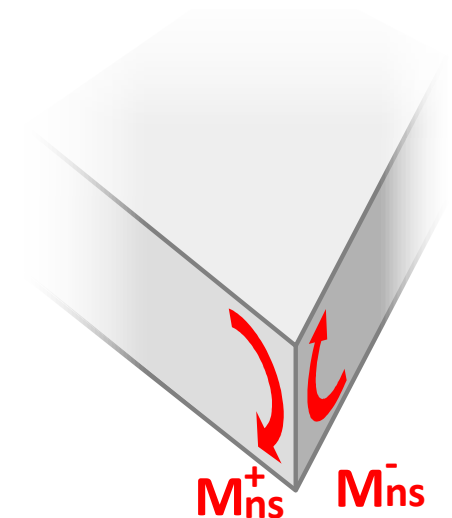
- **statyczne warunki brzegowe** dla stanu **płytowego** w punktach narożnych:

suma efektywnej brzegowej siły poprzecznej w narożu brzegu:

$$P = \lim_{e \rightarrow 0} \int_{-e}^e V_n \, ds = \lim_{e \rightarrow 0} \int_{-e}^e \left(Q_n + \frac{\partial M_{ns}}{\partial s} \right) ds = \lim_{e \rightarrow 0} \left[\int_{-e}^e Q_n \, ds + [M_{ns}]_{-e}^e \right] =$$

$$= \lim_{e \rightarrow 0} M_{ns}(e) - \lim_{e \rightarrow 0} M_{ns}(-e) = M_{ns}^+ - M_{ns}^-$$

$$[P] = [M_{ns}] = \text{Nm/m} = \text{N}$$



WNIOSKI:

- nawet jeśli płyta nie jest obciążona siłami poprzecznymi na brzegu, warunki równowagi w narożu płyty wymagają obecności siły skupionej.
- Przykładowo – dla naroża o kącie prostym: $P = 2 M_{ns}$

PŁYTY KOŁOWE I PIERŚCIENIOWE

PŁYTY KOŁOWE I PIERŚCIENIOWE

Dla płyt kołowych i pierścieniowych właściwsze jest wykorzystanie **współrzędnych biegunowych**, w których biharmoniczne **równanie przemieszczeniowe** przyjmuje postać:

$$w_{,rrrr} + \frac{2}{r^2} w_{,rr\phi\phi} + \frac{1}{r^4} w_{,\phi\phi\phi\phi} + \frac{2}{r} w_{,rrr} - \frac{2}{r^3} w_{,r\phi\phi} - \frac{1}{r^2} w_{,rr} + \frac{4}{r^4} w_{,\phi\phi} + \frac{1}{r^3} w_{,r} = \frac{q(r, \phi)}{D_b}$$

Siły przekrojowe w biegunowym układzie współrzędnych:

$$M_{rr} = -D_b \left[\frac{\partial^2 w}{\partial r^2} + \frac{\nu}{r} \left(\frac{\partial w}{\partial r} + \frac{1}{r} \frac{\partial^2 w}{\partial \phi^2} \right) \right]$$

$$Q_r = -D_b \frac{\partial}{\partial r} \nabla^2 w$$

$$M_{\phi\phi} = -D_b \left[\frac{1}{r} \left(\frac{\partial w}{\partial r} + \frac{1}{r} \frac{\partial^2 w}{\partial \phi^2} \right) + \nu \frac{\partial^2 w}{\partial r^2} \right]$$

$$Q_\phi = -D_b \frac{1}{r} \frac{\partial}{\partial \phi} \nabla^2 w$$

$$M_{r\phi} = -D_b (1 - \nu) \left[\frac{1}{r} \frac{\partial^2 w}{\partial r \partial \phi} - \frac{1}{r} \frac{\partial w}{\partial \phi} \right]$$

PŁYTY KOŁOWE I PIERŚCIENIOWE OSIOWOSYMETRYCZNE

Dla osiowosymetrycznych płyt kołowych i pierścieniowych biharmoniczne **równanie przemieszczeniowe** przyjmuje postać:

$$\frac{1}{r} \frac{\partial}{\partial r} \left[r \frac{\partial}{\partial r} \left[\frac{1}{r} \frac{\partial}{\partial r} \left[r \frac{\partial w}{\partial r} \right] \right] \right] = \frac{q(r)}{D_b}$$

Rozwiązanie – rozkład **ugięć**:

$$w(r) = \left[A_{00} + A_{01} r^2 + A_{02} r^2 \ln r + A_{03} \ln r \right] + \\ + \frac{1}{D_b} \int \frac{1}{r} \left[\int r \left[\int \frac{1}{r} \left[\int r q(r) dr + B_1 \right] dr + B_2 \right] dr + B_3 \right] dr + B_4$$

Stałe całkowania wyznaczamy z **warunków brzegowych**.

Niezerowe **siły przekrojowe** w biegunowym układzie współrzędnych:

$$M_{rr} = -D_b \left[\frac{d^2 w}{dr^2} + \frac{\nu}{r} \frac{dw}{dr} \right] \quad M_{\phi\phi} = -D_b \left[\frac{1}{r} \frac{dw}{dr} + \nu \frac{d^2 w}{dr^2} \right] \quad Q_r = -D_b \frac{d}{dr} \left[\frac{1}{r} \frac{d}{dr} \left(r \frac{dw}{dr} \right) \right]$$

DZIĘKUJĘ ZA UWAGĘ